

# Трехмерные и двумерные изображения: модели, алгоритмы и области анализа

П.А. Чочиа

**Аннотация** — Рассматриваются вопросы модификации двухмасштабной модели и алгоритмов обработки при переходе от двумерных к трехмерным изображениям. Показаны изменения области анализа, алгоритмов фильтрации, декомпозиции изображений и обнаружения объектов. Предложены быстрые алгоритмы вычисления локального среднего и порядковых статистик по скользящему окну для 3D-изображений.

**Ключевые слова** — Обработка изображений, трехмерное изображение, модель изображений, алгоритм обработки, область анализа, быстрые алгоритмы.

## I. ВВЕДЕНИЕ

Когда употребляют термин «трехмерное изображение» зачастую понимают совершенно различные виды данных [1]-[3], основные из которых следующие.

1. Данные, задаваемые функцией трех координат и являющиеся гомеоморфным отображением некоторого объемного участка трехмерного пространства, включая все содержащиеся в нем объекты.
2. Стереоскопическое изображение, состоящее из пары двумерных изображений, за счет диспаратности дающих наблюдателю представление о расположении объектов.
3. Изображение, являющееся проекцией трехмерной сцены (например, аксонометрической), позволяющее оценить форму и расположение объектов, но при этом остающееся двумерным.
4. Двумерное изображение, каждая точка которого соответствует некоторым координатам в трехмерном пространстве, например дальности или рельефу.
5. Особым способом сформированные изображения, создающие образы объектов, например голограммы.
6. Видеопоследовательности, содержащие набор кадров объектов. Такие данные могут представляться в виде трехмерного массива, но одна из координат при этом является не пространственной, а координатой времени.

Далее под *трехмерным* или *3D-изображением* (непрерывным или дискретным) будут пониматься изображения исключительно первого типа. По существу, 3D-изображение представляет собой расширение обычного 2D-изображения путем добавления еще одного пространственного измерения.

Способы формирования трехмерного изображения могут быть различными; наиболее известным является

томографическое сканирование — рентгеновская компьютерная томография или магнитно-резонансная томография. Возможно получение 3D-изображения в результате сейсморазведки при геологических исследованиях, в микроскопии при использовании объектива с переменным фокусным расстоянием, при компьютерном моделировании трехмерных объектов и сцен, или каким-то иным образом.

Обработка и анализ трехмерных изображений играют в настоящее время существенную роль во многих областях исследований, особенно в медицине и геологии. В настоящей работе рассмотрены вопросы расширения модели двумерного изображения [4] и применения ее к трехмерным изображениям, вопросы модификации операций частотной и пространственной фильтраций при переходе в 3D, вопросы сглаживания и декомпозиции изображений [5],[11], фильтрации помех, обнаружения контуров и объектов, а также вычислительные аспекты реализации некоторых алгоритмов для трехмерных изображений [16].

Большинство алгоритмов фильтрации при переходе от двумерных к трехмерным сигналам модифицируются сравнительно просто. Это будет показано на примерах наиболее распространенных алгоритмов, основанных на частотной и пространственной фильтрациях.

## II. ОСОБЕННОСТИ ТРЕХМЕРНОГО ИЗОБРАЖЕНИЯ

В дискретном виде 3D-изображение представляется массивом  $X = [x_{mnk}]$  размерами  $M \times N \times K$ . Как и в 2D, значение каждого элемента  $x_{mnk}$  есть квантованное на  $(x_{\max}+1)$  градаций значение логарифма яркости (энергии)  $0 \leq x_{mnk} \leq x_{\max}$ , которое для краткости будем называть просто *яркостью*. Дискретный элемент 3D-изображения принято называть *воксель*. Трехмерное изображение, отображающее некоторую сцену, можно рассматривать состоящим из плотно упакованных связанных трехмерных областей (объектов), соответствующих деталям сцены. *Областью* или *объектом* будем называть максимальное по размеру связное множество элементов изображения, имеющих близкие, возможно плавно меняющиеся значения яркости. Области могут соприкасаться произвольным образом, в том числе одна область может быть полностью окружена другой. На границах соседних областей значения яркости должны заметно различаться. Не соприкасающиеся области могут иметь произвольные, в том числе и совпадающие яркости. Пространственные границы между соседними областями, как объектами различающейся яркости, называют *контурами*. 3D-изображения характеризуются

следующими свойствами:

- 3D-изображение — совокупность объектов, плотно заполняющих пространство изображения;
- контуры в 3D-изображении — пространственные границы между объектами;
- сечение 3D-изображения плоскостью и проекция его на плоскость любого направления дают двумерный сигнал со всеми свойствами обычного 2D-изображения.

### III. ОБЛАСТИ АНАЛИЗА

*Область анализа* — подмножество исходных данных, используемое в оценке параметров. Методы, в которых для каждой точки (или малых фрагментов) изображения используются свои параметры обработки, определяемые по ограниченной и, как правило, центрированной в данной точке области анализа, называют *локальными*.

Рассмотрим связанное множество элементов  $x_{ijl} \in V_d(x_{mnk})$  таких, которые отстоят от центрального элемента  $x_{mnk}$  на расстояние не далее, чем  $d$  и вместе составляют фигуру некоторой задаваемой формы. При  $d \leq 2 \div 3$  множество  $V_d(x_{mnk})$ , окружающее центральный элемент (воксель)  $x_{mnk}$ , будем называть *окрестностью* и обозначать  $V_{mnk}$ , а при  $d \gg 1$  — *фрагментом* и обозначать  $W_{mnk}$ . Отметим, что в зависимости от выполняемых операций сам центральный элемент  $x_{mnk}$  может как принадлежать, так и не принадлежать  $V_d(x)$ . Соответственно, операции вида

$$y_{mnk} = f\{x_{ijl} \mid x_{ijl} \in V_d(x_{mnk})\}, \quad (1)$$

в которых результат в каждой точке  $(m,n,k)$  зависит лишь от значений элементов  $x_{ijl}$ , входящих в  $V_d(x_{mnk})$ , называются *локальными операциями*.

При переходе из 2D в 3D варианты симметричных окрестностей и соседства элементов претерпевают следующие изменения. Окрестность из  $2 \times 2$  элементов (4 пикселя) становится окрестностью из  $2 \times 2 \times 2$  элементов (8 вокселей), в которой каждый воксель соседствует с каждым. В двумерной окрестности из  $3 \times 3$  элементов (9 пикселей), как известно, можно рассматривать два варианта соседства элементов: 4-соседство (только по сторонам пикселей) и 8-соседство (по сторонам и вершинам пикселей) [3]. Аналогом первого из них в 3D будет окрестность с 6-соседством вокселей (Рис. 1,а). Аналогом второго — окрестность с 26-соседством вокселей (Рис. 1,в). Возможен промежуточный вариант с 18-соседством вокселей (Рис. 1,б). Выбор варианта окрестности обычно определяется контекстом задачи и используемым алгоритмом.

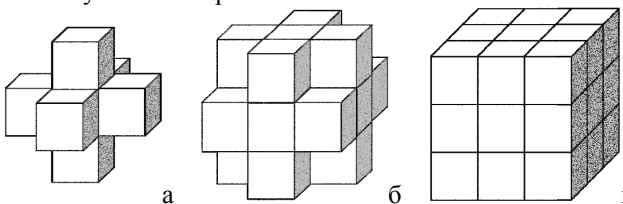


Рис. 1. Окрестности и соседства вокселей в 3D: а) 6-соседство; б) 18-соседство; в) 26-соседство.

В некоторых случаях нас интересует не весь набор точек, попадающих в область анализа, а лишь некоторое его подмножество, включающее центральный элемент, которое будем называть *областью принадлежности*. Способ выбора области принадлежности зависит от

задачи; некоторые варианты рассмотрены в разделе VI.

### IV. ДВУХМАСШТАБНАЯ МНОГОКОМПОНЕНТНАЯ МОДЕЛЬ ТРЕХМЕРНОГО ИЗОБРАЖЕНИЯ

Для формулировки сведений об основных свойствах изображений — топологических (форм, размеров областей и контурных перепадов между ними) и статистических (взаимосвязи значений элементов) необходима соответствующая модель изображения. Чтобы быть полезной, она должна описывать свойства изображений на расстояниях, обусловленных особенностями задач, а также давать возможности для построения эффективных алгоритмов обработки и анализа изображений.

Статистические взаимосвязи элементов изображения, находящихся на больших расстояниях, существенно отличаются от аналогичных свойств близлежащих элементов и их не удастся описать одними и теми же соотношениями. Для обычного двумерного изображения была разработана двухмасштабная многокомпонентная модель, достаточно хорошо описывающая взаимосвязи элементов и на малых расстояниях в несколько шагов дискретизации, и на больших — соразмерных размерам объектов изображения [4]. Она с успехом может быть перенесена на 3D-изображения.

Значения элементов 3D-изображения  $\mathbf{X} = [x_{mnk}]$  при этом будут представляться в виде суммы статистически независимых компонент:

$$x_{mnk} = S_{mnk} + t_{mnk} + \xi_{mnk}. \quad (2)$$

Первый член суммы — кусочно-гладкая компонента  $S_{mnk}$ , определяющая уровни яркости протяженных областей изображения;  $t_{mnk}$  — текстурно-детальная компонента, несущая информацию о текстуре и мелких деталях;  $\xi_{mnk}$  — шумовая компонента, определяемая шумами регистратора, аналого-цифрового преобразователя и др. Все компоненты предполагаются независимыми и аддитивными, а  $t_{mnk}$  и  $\xi_{mnk}$  — нормально распределенными и несмещенными.

#### A. Масштаб малого размера

На масштабе малого размера (масштабе элементов окрестности) рассматривается сравнительно небольшое связанное множество элементов, расположенных на расстоянии нескольких шагов дискретизации. Как и в двумерной модели [4], элементы трехмерного изображения разделяются на два непересекающихся множества: попадающие на граничные участки (контурные) и не попадающие (внутренние), составляющие вместе полное изображение. Окрестность  $V_{mnk}$  элемента  $x_{mnk}$  рассматривается как группа из  $R$  элементов  $x'_{mnk} \in V_{mnk}$ ,  $r = 1, \dots, R$ , ближайших к  $x_{mnk}$ , и попадающих в то же множество (контурное или внутреннее), что и элемент  $x_{mnk}$  (Рис. 2).

Методом наименьших квадратов проводится гиперплоскость, наиболее близкая значениям элементов из  $V_{mnk}$ , составляющая с гиперплоскостью, ориентированной вдоль осей координат  $\mathbf{MNK}$ , некоторый угол, величина и направление которого в точке  $(m,n,k)$  характеризуется вектором  $\mathbf{g}_{mnk}$ . В точке  $r$  окрестности проведенная гиперплоскость отличается от значения

$x_{mnk}^r$  на случайную величину  $\gamma_{mnk}^r$ . Такое представление позволяет связать значения элементов окрестности  $x_{mnk}^r \in V_{mnk}$  формулой:

$$x_{mnk}^r = \mu_{mnk} + \rho^r g_{mnk}^r + \gamma_{mnk}^r, \quad (3)$$

где  $\mu_{mnk}$  — значение проведенной гиперплоскости в центральной точке окрестности  $(m,n,k)$ ,  $\rho^r$  — расстояние между центральным элементом  $x_{mnk}$  и  $x_{mnk}^r$ ,  $g_{mnk}^r$  — величина проекции  $\mathbf{g}_{mnk}$  на вектор из  $x_{mnk}$  в  $x_{mnk}^r$ , а  $\gamma_{mnk}^r$  — случайная величина.

Вводится понятие контурной маски  $\mathbf{E} = [e_{mnk}]$ :  $e_{mnk} = 1$  для контурных и  $e_{mnk} = 0$  для внутренних элементов. Обозначая для контурных и внутренних элементов  $g_{mnk}^r$  через  $\varphi_{mnk}^r$  и  $\psi_{mnk}^r$ , а  $\gamma_{mnk}^r$  через  $\zeta_{mnk}^r$  и  $\eta_{mnk}^r$  соответственно, представим  $g_{mnk}^r$  и  $\gamma_{mnk}^r$  в виде сумм  $g_{mnk}^r = e_{mnk}^r \varphi_{mnk}^r + (1 - e_{mnk}^r) \psi_{mnk}^r$  и  $\gamma_{mnk}^r = e_{mnk}^r \zeta_{mnk}^r + (1 - e_{mnk}^r) \eta_{mnk}^r$ . В результате получим формулу модели трехмерной окрестности:

$$x_{mnk}^r = \mu_{mnk} + e_{mnk}^r (\varphi_{mnk}^r \rho^r + \zeta_{mnk}^r) + (1 - e_{mnk}^r) (\psi_{mnk}^r \rho^r + \eta_{mnk}^r). \quad (4)$$

Здесь  $\zeta_{mnk}^r$  — стохастическое возбуждение в точке  $r$  окрестности для контурных, а  $\eta_{mnk}^r$  — для внутренних элементов. Случайные величины  $\varphi_{mnk}^r$ ,  $\psi_{mnk}^r$ ,  $\zeta_{mnk}^r$  и  $\eta_{mnk}^r$  считаются некоррелированными и несмещенными, а шумовые составляющие  $\zeta_{mnk}^r$  и  $\eta_{mnk}^r$  — нормально распределенными. Проведенные эксперименты [4],[5] показывают, что значения дисперсий компонент  $\varphi$  и  $\psi$  различаются в 10-100 раз.

### В. Масштаб большого размера

На масштабе большого размера (масштабе объектов фрагмента) полагаются, что гладкие составляющие  $S^v$  тех частей областей  $u^v$  ( $v = 1, \dots, V$ ), которые попадают во фрагмент  $W_{mnk}$ , задаются полиномом степени не выше, чем  $\omega$ . Тогда  $S_{ijl}$  внутри фрагмента  $W_{mnk}$  может быть описана формулой:

$$S_{ijl}^v(W_{mnk}) = \sum_{v=1}^V \delta_{u^v} \sum_{p=0}^{\omega} \sum_{q=0}^{\omega-p} \sum_{r=0}^{\omega-p-q} a_{pqr}^v i^p j^q l^r; \quad (5)$$

здесь  $(i,j,l)$  — точка области  $u^v$  во фрагменте  $W_{mnk}$ ;  $\delta_{u^v} = 1$ , если точка  $(i,j,l) \in u^v$  и  $\delta_{u^v} = 0$  в остальных случаях. Добавляя в (5) текстурную  $t_{ijl}$  и шумовую  $\xi_{ijl}$  составляющие, получим выражение для значения элементов внутри фрагмента:

$$x_{ijl}^v = \sum_{v=1}^V \delta_{u^v} \left( \sum_{p=0}^{\omega} \sum_{q=0}^{\omega-p} \sum_{r=0}^{\omega-p-q} a_{pqr}^v i^p j^q l^r + t_{ijl}^v + \xi_{ijl}^v \right). \quad (6)$$

Это общая формула модели, описывающей значения элементов областей внутри фрагмента. Компоненты  $t_{ijl}^v$  и  $\xi_{ijl}^v$  считаются нормально распределенными, но значения дисперсий  $t^v$  вообще говоря различаются от области к области. Двумерный вариант изображения, содержащего нескольких областей, а также окрестность и фрагмент вокруг элемента  $x_{mnk}$ , показаны на Рис. 2. Для 3D-изображения как окрестность с фрагментом, так и сами области будут трехмерными фигурами.

На многих реальных изображениях области, в

пределах типичного фрагмента анализа, имеют приблизительно постоянные яркости, не меняющиеся заметно. Поэтому во многих случаях допустимо выбрать минимальную степень полинома:  $\omega = 0$ . Тогда  $S_{ijl}^v(W_{mnk}) = S_{mnk}^v$  и (6) упрощается до следующего вида:

$$x_{ijl}^v = \sum_{u=1}^V \delta_{u^v} (S_{mnk}^v + t_{ijl}^v + \xi_{ijl}^v). \quad (7)$$

Это формула кусочно-постоянной модели фрагмента для представления участков областей изображения, попадающих во фрагмент  $W_{mnk}$ .

На масштабе большого размера обычно предполагается, что фрагмент  $W_{mnk}$  является прямоугольным параллелепипедом; это вызвано особенностями алгоритмической реализации методов обработки трехмерных изображений.

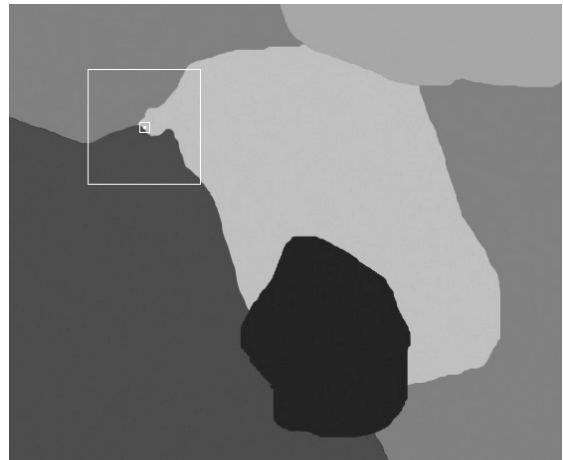


Рис. 2. Участок изображения; обрабатываемый элемент окружен границами окрестности и фрагмента.

### У. ИЗМЕНЕНИЕ ЧАСТОТНЫХ АЛГОРИТМОВ В 3D

Одним из эффективных подходов к обработке сигналов является применение методов фильтрации, использующих ортогональные преобразования: Фурье, Уолша-Адамара, косинусное, и др. [6]. Наиболее распространен класс преобразований, обеспечивающих разложение сигналов по гармоническим функциям, из которых важнейшим является преобразование Фурье; на его примере и покажем модификацию преобразования.

При переходе от 2D- к 3D-изображениям трехмерными становятся как пространственная, так и частотная области представления данных, т.е. вместо двумерного получаем трехмерное Фурье-преобразование; основные свойства преобразования Фурье при этом сохраняются.

Пусть  $f(x,y,z)$  — непрерывная функция трех переменных  $x$ ,  $y$  и  $z$ . Пара трехмерных непрерывных преобразований Фурье (прямое и обратное) задается следующими выражениями:

$$F(u, v, w) = \int_{-\infty}^{\infty} \int_{-\infty}^{\infty} \int_{-\infty}^{\infty} f(x, y, z) e^{-i2\pi(xu + yv + zw)} dx dy dz \quad (8)$$

$$\text{и } f(x, y, z) = \int_{-\infty}^{\infty} \int_{-\infty}^{\infty} \int_{-\infty}^{\infty} F(u, v, w) e^{i2\pi(xu + yv + zw)} du dv dw, \quad (9)$$

где  $u$ ,  $v$  и  $w$  — непрерывные частотные, а  $x$ ,  $y$  и  $z$  — непрерывные пространственные переменные.

Трехмерное дискретное преобразование Фурье (ДПФ)

может быть записано в виде:

$$F(u, v, w) = \sum_{m=0}^{M-1} \sum_{n=0}^{N-1} \sum_{k=0}^{K-1} f(m, n, k) e^{-i2\pi(um/M + vn/N + wk/K)}, \quad (10)$$

где  $f(m, n, k)$  — трехмерный массив размерами  $M \times N \times K$ . Обратное трехмерное дискретное преобразование Фурье будет иметь вид:

$$f(m, n, k) = \frac{1}{MNK} \sum_{u=0}^{M-1} \sum_{v=0}^{N-1} \sum_{w=0}^{K-1} F(u, v, w) e^{i2\pi(um/M + vn/N + wk/K)} \quad (11)$$

для  $0 \leq m < M$ ,  $0 \leq n < N$  и  $0 \leq k < K$ , а также  $0 \leq u < M$ ,  $0 \leq v < N$  и  $0 \leq w < K$ .

Как и в двумерном случае, частотная фильтрация трехмерного сигнала осуществляется выполнением прямого преобразования Фурье (10), модификацией полученного спектра  $F(u, v, w)$ , и последующим обратным преобразованием (11). По аналогии с преобразованием Фурье, другие ортогональные преобразования при переходе к трехмерному сигналу также несложно видоизменяются добавлением размерности.

## VI. ИЗМЕНЕНИЕ ПРОСТРАНСТВЕННЫХ АЛГОРИТМОВ В 3D

Пространственная фильтрация обычно осуществляется локальными операторами согласно формуле (1) с определенными ограничениями на размеры локальной области анализа  $V_d(x)$ , поскольку в случае функции  $f(\cdot, \cdot)$  в (1) общего вида, объем необходимых вычислений возрастает как минимум пропорционально числу элементов, попадающих в  $V_d(x)$ . Окрестности, которые в 2D-случае содержат порядка  $(2d)^2$  пикселей, в 3D будут содержать уже порядка  $(2d)^3$  вокселей. Тем не менее для некоторых преобразований в трехмерном случае, как и в двумерном, удастся построить быстрые алгоритмы.

### A. Алгоритмы, использующие оценку среднего по фрагменту

Ряд алгоритмов обработки двумерных изображений, связанных со сглаживанием, выделением низко- или высокочастотных составляющих, улучшением изображения, обобщаются следующей формулой [5],[7]:

$$y_{mn} = f(x_{mn} - S_{mn}, D_{mn}) + bS_{mn} + c, \quad (12)$$

где  $x_{mn}$  — значение центрального элемента,  $S_{mn}$  — оценка сглаженного значения для точки  $(m, n)$  (например, значение арифметического среднего или медианы по фрагменту),  $D_{mn}$  — оценка дисперсии по фрагменту,  $f(u, v)$  — зависимость усиления контраста,  $b$  и  $c$  — параметры преобразования. Так, при  $f(u, v) = 0$  и  $c = 0$  получаем выделение низкочастотной составляющей (сглаживание), при  $f(u, v) = u$ ,  $b = 0$  и  $c = 0,5$  — выделение высокочастотной составляющей, а при  $f(u, v) > u$ ,  $b \leq 1$  и  $c \approx (1-b)/2$  — улучшение изображения [5],[7].

Преобразования вида (12) легко переносятся на 3D-изображения добавлением размерности, но с учетом того, что  $S_{mnk}$ , а также  $u$  и  $v$  в  $f(u, v)$  должны определяться уже не по двумерному, а по трехмерному фрагменту (прямоугольному параллелепипеду) с центром в точке  $(m, n, k)$ :

$$y_{mnk} = f(x_{mnk} - S_{mnk}, D_{mnk}) + bS_{mnk} + c. \quad (13)$$

Модификации алгоритмов быстрого вычисления арифметического среднего или медианы  $S_{mnk}$ , а также

дисперсии  $D_{mnk}$  рассмотрены в конце статьи.

### B. Операторы контурных перепадов

В основе большинства алгоритмов обнаружения контуров на изображении лежат операторы контурных перепадов, использующие оценки значений либо первой, либо второй производной [3],[8]. Для 2D-изображений контуры объектов суть линии, разделяющие плоские области; в случае, когда линии не имеют разрывов, получаем контурную карту изображаемой сцены.

В трехмерном пространстве контурное изображение представляет собой множество разделяющих объекты поверхностей произвольной формы, и здесь возможно возникновение различных конфигураций контуров, например, становятся допустимыми самопересечения и узлы. Сечение 3D-контурного изображения плоскостью представляет собой двумерную карту контуров. Однако такая карта не обязана совпадать с картой, получаемой проведением контуров по 2D-изображению, являющемуся сечением 3D-изображения той же плоскостью.

Рассмотрим модификации базовых операторов контурных перепадов на основе первой и второй производных при переходе от 2D- к 3D-изображениям в рамках рассмотренных выше трехмерных окрестностей.

1) *На основе первой производной: оператор Робертса*  
Оператор Робертса для двумерного изображения формулируется как сумма модулей разностей значений диагональных элементов по квадрату  $2 \times 2$  пикселей:

$$y(m, n) = \{|x(m, n) - x(m+1, n+1)| + |x(m+1, n) - x(m, n+1)|\} / 2. \quad (14)$$

Для трехмерного изображения оператор Робертса [9] можно представить в виде суммы модулей разностей элементов в диагоналях куба из  $2 \times 2 \times 2$  пикселей:

$$y(m, n, k) = \{|x(m, n, k) - x(m+1, n+1, k+1)| + |x(m+1, n, k) - x(m, n+1, k+1)| + |x(m, n+1, k) - x(m+1, n, k+1)| + |x(m, n, k+1) - x(m+1, n+1, k+1)|\} / 4. \quad (15)$$

2) *На основе первой производной: оператор Собела*  
Для двумерного изображения оператор Собела задается выражением:

$$y(m, n) = \{|x(m-1, n-1) + 2x(m-1, n) + x(m-1, n+1) - x(m+1, n-1) - 2x(m+1, n) - x(m+1, n+1)| + |x(m-1, n-1) + 2x(m, n-1) + x(m+1, n-1) - x(m+1, n-1) - 2x(m+1, n) - x(m+1, n+1)|\} / 8. \quad (16)$$

Чтобы построить оператор Собела [3] (и аналогичные ему) для 3D-изображения, первоначально определим частные отклики как модули разностей значений элементов для каждого из направлений  $m$ ,  $n$  и  $k$ , что соответствует выражению под одним из знаков модуля в (16). Для направления  $m$  такую зависимость  $y_m(m, n, k)$  с точностью до коэффициентов  $a$ ,  $b$  и  $c$  можно выразить формулой:

$$y_m(m, n, k) = \{|ax(m-1, n-1, k-1) + bx(m-1, n-1, k) + ax(m-1, n-1, k+1) + bx(m-1, n, k-1) + cx(m-1, n, k) + bx(m-1, n, k+1) + ax(m-1, n+1, k-1) + bx(m-1, n+1, k) + ax(m-1, n+1, k+1) - ax(m+1, n-1, k-1) - bx(m+1, n-1, k) - ax(m+1, n-1, k+1) - bx(m+1, n, k-1) - cx(m+1, n, k) - bx(m+1, n, k+1) - ax(m+1, n+1, k-1) - bx(m+1, n+1, k) - ax(m+1, n+1, k+1)\} / (4a+4b+c). \quad (17)$$

Аналогичным образом записываются модули разностей  $y_n(m, n, k)$  и  $y_k(m, n, k)$  для составляющих  $n$  и  $k$ .

Трёхмерный оператор, аналогичный оператору Собела, выразим через корень из суммы квадратов откликов по трем направлениям:

$$y(m,n,k) = \{ [y_m(m,n,k)]^2 + [y_n(m,n,k)]^2 + [y_k(m,n,k)]^2 \}^{1/2}. \quad (18)$$

Коэффициенты  $a$ ,  $b$  и  $c$  рекомендуется выбирать как 1, 2 и 3 соответственно.

3) На основе второй производной: оператор Лапласа  
Оператор Лапласа (лапласиан) для двумерного изображения задается следующей формулой [3]:

$$y(m,n) = \{ x(m-1,n-1) + x(m-1,n) + x(m-1,n+1) + x(m,n-1) + x(m,n) + x(m,n+1) + x(m+1,n-1) + x(m+1,n) + x(m+1,n+1) \} / 8 - x(m,n). \quad (19)$$

Для 3D-изображения модификация лапласиана может быть выражена через набор элементов окрестности:

$$y_{mnk} = \left( \frac{1}{Q_V} \sum_{x_{ijl} \in V_{mnk}} x_{ijl} \right) - x_{mnk}, \quad (20)$$

где  $V_{mnk}$  — окрестность точки  $x_{mnk}$ , не включающая саму центральную точку  $x_{mnk}$ ,  $Q_V$  — число точек в такой окрестности,  $\{x_{ijl}\}$  — набор элементов окрестности  $V_{mnk}$ . В качестве  $V_{mnk}$  может выступать одна из окрестностей, показанных на Рис. 1; для окрестности (а)  $Q_V = 6$ , для (б)  $Q_V = 18$ , для (в)  $Q_V = 26$ .

4) Другие контурные операторы

Как и для двумерного случая, возможно построение и других детекторов, позволяющих обнаруживать контурные перепады, например, разности максимума и минимума значений элементов окрестности  $V_{mnk}$ :

$$y_{mnk} = \max\{x_{ijl} \mid x_{ijl} \in V_{mnk}\} - \min\{x_{ijl} \mid x_{ijl} \in V_{mnk}\}.$$

### С. Фильтрация импульсных помех

Импульсными помехами называют сравнительно редкие искажения отдельных элементов изображения, когда значения помехи значительно отличаются от истинных значений сигнала и не коррелированы с ними. Модель искажения изображения импульсными помехами проста. Значение каждого из элементов  $x_{mnk}$  с вероятностью  $p$  заменяется на случайное значение  $\xi_{mnk}$  независимо от значений остальных элементов. Обозначим через  $X' = [x'_{mnk}]$  исходное неискаженное изображение, через  $X = [x_{mnk}]$  — искаженное импульсной помехой, а через  $Y = [y_{mnk}]$  — результат фильтрации. Процесс искажения представится в виде:

$$x_{mnk} = \begin{cases} x'_{mnk} & \text{с вероятностью } (1-p); \\ \xi_{mnk} & \text{с вероятностью } p. \end{cases} \quad (21)$$

Как правило полагается, что значения импульсных помех  $\xi_{mnk}$  распределены равномерно в диапазоне яркостей  $[0, x_{\max}]$ . Фильтрация импульсных помех сводится к обнаружению помех и коррекции искаженных отсчетов яркости.

Наиболее распространенные алгоритмы фильтрации основываются на предсказании значения элемента  $\tilde{x}_{mnk}$  по окружающей его окрестности  $V_{mnk}$ . При этом используются локальные корреляционные связи близлежащих элементов изображения и учитывается, что шум пространственно декоррелирован. При обнаружении сравниваются наблюдаемое  $x_{mnk}$  и предсказываемое  $\tilde{x}_{mnk}$  значения. Если они отличаются более, чем на величину некоторого порога обнаружения

$\delta$ , считается, что  $x_{mnk}$  — помеха и осуществляется ее исправление на значение  $\tilde{x}_{mnk}$  [10].

Общая формула вычисления  $\tilde{x}_{mnk}$  в целом повторяет формулу (1):

$$\tilde{x}_{mnk} = f\{x_{ijl} \mid x_{ijl} \in V_{mnk}\}. \quad (22)$$

Значение функции  $f\{\cdot\}$  будем находить следующим образом. Выберем из набора элементов окрестности  $x_{ijl} \in V_{mnk}$  усеченное множество  $\{x'_{ijl}\}$  путем отбрасывания  $2n$  точек с наименьшими и наибольшими значениями ( $n \approx Q_V/8$ ). Множество точек  $\{x'_{ijl}\}$  будет соответствовать так называемой области принадлежности. Проведем через точки  $\{x'_{ijl}\}$  ближайшую гиперплоскость и возьмем ее значение в точке  $(m,n,k)$ . Полученная величина и будет искомым предсказываемым значением  $\tilde{x}_{mnk}$ .

Обобщенная формула фильтрации для большинства алгоритмов будет следующей:

$$y_{mnk} = \begin{cases} x_{mnk}, & \text{если } |x_{mnk} - \tilde{x}_{mnk}| < \delta; \\ \tilde{x}_{mnk}, & \text{если } |x_{mnk} - \tilde{x}_{mnk}| \geq \delta. \end{cases} \quad (23)$$

При больших  $p$ , когда вероятность искажения пары соседних вокселей достаточно высока, рекомендуется итеративный процесс фильтрации: первоначально с большим значением порога  $\delta$ , затем с постепенным его уменьшением. Рекомендуется для первой итерации применять окрестность на Рис. 1,а, а для последующих — окрестности на Рис. 1,б и (в).

### Д. Декомпозиция изображения

Для двумерного изображения вопросы декомпозиции, означающей в терминах модели (2) разделение изображения на сглаженную  $S$  и текстурно-детальную компоненты  $(t + \xi)$ , были рассмотрены в [5],[7],[11]. Суть изложенного в них алгоритма заключается в том, что для каждой точки изображения  $(m,n)$  на основе последовательного анализа окрестности  $V_{mn}$  и фрагмента  $W_{mn}$ , окружающих элемент  $x_{mn}$ , выбирается часть точек  $W_{mn}$  в качестве области принадлежности, и значение  $S_{mn}$  оценивается по выбранному множеству.

Алгоритм декомпозиции использует анализ распределений вероятностей значений элементов по окрестности  $V_{mn}$  и фрагменту  $W_{mn}$ . Пример фрагмента, охватывающего три области, а также распределение значений элементов по фрагменту (гистограмма) показаны на Рис. 3. Областью принадлежности в данном случае является множество точек объекта  $U^1$ .

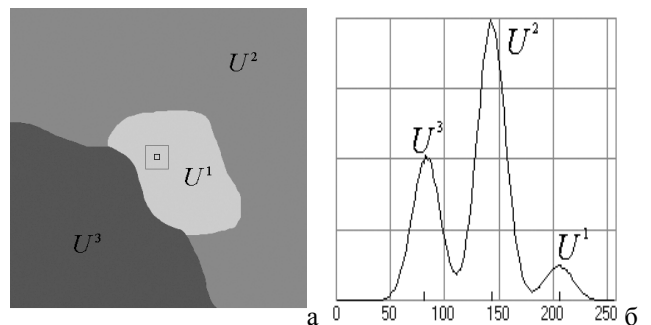


Рис. 3. а) Область анализа (фрагмент); б) распределение вероятностей значений элементов по фрагменту.

Поскольку используемый подход основан на анализе распределений вероятностей, то он позволяет легко

перейти от 2D- к 3D-изображению — достаточно лишь вместо двумерных окрестности  $V_{mn}$  и фрагмента  $W_{mn}$  подставить в формулы трехмерные окрестность  $V_{mnk}$  и фрагмент  $W_{mnk}$ . В нотации [12], алгоритм декомпозиции трехмерного изображения формулируется следующим образом.

При заданных размерах  $l \times l \times l$  окрестности  $V_{mnk}$  и  $L \times L \times L$  фрагмента  $W_{mnk}$  ( $l < L$ ), центрированных в точке  $(m, n, k)$ , ширине яркостных интервалов анализа  $\Delta^V$  и  $\Delta^W$ , а также ранговых параметрах  $n^V < l^3/2$  и  $n^W < L^3/2$  соответственно, значение сглаженной компоненты  $S_{mnk}$  в (2) находится выполнением следующих операций для каждой точки  $(m, n, k)$  изображения:

1. Подсчитываются вероятности распределения (гистограммы) по трехмерным окрестности  $H_{mnk}^V = \{h_{mnk}^V(i)\}$  и фрагменту  $H_{mnk}^W = \{h_{mnk}^W(i)\}$  с центром в  $(m, n, k)$ .

2. По гистограмме окрестности  $H_{mnk}^V$  и параметру  $n^V$  находятся значения  $R_1^V = R^V(n^V/l^3)$  и  $R_2^V = R^V(1 - n^V/l^3)$ ; здесь ранговые значения  $R(x)$  определяются как решения уравнения  $\sum_{i=0}^{R(x)} h_{mnk}^V(i) = x$ , где  $h_{mnk}^V(i)$  — гистограмма значений элементов в окрестности  $V_{mnk}$ . Промежуточное значение  $\bar{x}^V$  находится сравнением  $x_{mnk}$  с  $R_1^V$  и  $R_2^V$ :  $\bar{x}^V = x_{mnk}$ , если  $R_1^V \leq x_{mnk} \leq R_2^V$ ;  $\bar{x}^V = R_1^V$ , если  $x_{mnk} < R_1^V$ ; и  $\bar{x}^V = R_2^V$ , если  $x_{mnk} > R_2^V$ .

3. Из элементов  $V_{mnk}$  выбираются  $z$  таких  $x_{mnk}^r \in V_{mnk}$  ( $r = 1, \dots, z$ ), что попадают в интервал  $(\bar{x}^V - \Delta^V, \bar{x}^V + \Delta^V)$ , где  $\Delta^V$  — его полуширина. По значениям  $x_{mnk}^r$  из данного интервала, подсчитывается среднее [13]:

$$\bar{x}_{mnk} = A(V_{mnk}, x_{mnk}, n^V, \Delta^V) = \frac{1}{z} \sum_{r=1}^z x_{mnk}^r, \quad (24)$$

где  $\bar{x}^V - \Delta^V \leq x_{mnk}^r \leq \bar{x}^V + \Delta^V$ .

4. Аналогично п. 2, по гистограмме фрагмента  $H_{mnk}^W$  и заданному  $n^W$  находятся значения  $R_1^W = R^W(n^W/L^3)$  и  $R_2^W = R^W(1 - n^W/L^3)$ . Значение  $\bar{x}^W$  находится сравнением  $\bar{x}_{mnk}$  с  $R_1^W$  и  $R_2^W$ :  $\bar{x}^W = \bar{x}_{mnk}$ , если  $R_1^W \leq \bar{x}_{mnk} \leq R_2^W$ ;  $\bar{x}^W = R_1^W$ , если  $\bar{x}_{mnk} < R_1^W$ ; и  $\bar{x}^W = R_2^W$ , если  $\bar{x}_{mnk} > R_2^W$ .

5. Сглаженное значение  $S_{mnk}$  находится как медиана по усеченной гистограмме фрагмента  $H_{mnk}^W$  — той ее части, которая расположена в интервале  $(\bar{x}^W - \Delta^W, \bar{x}^W + \Delta^W)$ :

$$S_{mnk} = \text{med}(W_{mnk}, \bar{x}_{mnk}, n^W, \Delta^W). \quad (25)$$



Рис. 4. Результат декомпозиции: исходное изображение (слева), сглаженная компонента  $S_{mnk}$  (справа) и графики отмеченной строки.

Полученное значение  $S_{mnk}$  считается искомой сглаженной компонентой. Упрощенный вариант данного алгоритма был позже опубликован в [14] под названием *билатеральная фильтрация*. Пример декомпозиции двумерного изображения размерами  $256 \times 256$  элементов с фрагментом сглаживания  $W_{mnk}$  размерами  $15 \times 15$  элементов показан на Рис. 4.

#### Е. Обнаружение объектов заданного объема

В [12] показано, что изложенный выше алгоритм декомпозиции можно использовать для обнаружения объектов на изображении. Аналогично 2D-изображениям, для которых решается задача обнаружения объектов по их площади, в трехмерной модификации ставится задача обнаружения объектов по их объему.

По аналогии с двумерной, трехмерная задача также допускает формулировку в трех вариантах: обнаружение объектов с объемом (т.е. числом элементов)  $N^j$  меньше заданного  $T_1$ , больше заданного  $T_2$ , и обнаружение объектов, имеющих объем в интервале  $T_1 < N^j < T_2$ .

##### 1) Обнаружение объектов с $N^j > T$

Предполагается, что изображение состоит из достаточно ровного фона (большая область  $U^0$ ), на которой имеется набор небольших областей  $U^1, \dots, U^j$ , отстоящих друг от друга достаточно далеко, и можно выбрать некоторый размер фрагмента  $L$  ( $L^3/2 > T$ ) такой, что в любой фрагмент  $W_{mnk}$  попадает не более одной области с  $N^j > T$ , либо несколько меньших, но при условии  $\sum N^j < T$  ( $U^j - W$ ). В п. 5 алгоритма декомпозиции (25) выберем  $n^W = T$ , а  $R_1^W = R(T/L^3)$  и  $R_2^W = R(1 - T/L^3)$ . Обработкой изображения с данными значениями  $R_1^W$  и  $R_2^W$  получим:

$$y_{mnk} = S_{mnk}, \quad (26)$$

т.е. сглаженную компоненту исходного изображения, на которой остались области с  $N^j > T$ , обнаруживаемые детектором со значением порога  $S(U^0) \pm \delta$ , где  $S(U^0)$  — средняя яркость фона, а  $\delta < \min_j \{|S(U^j) - S(U^0)|\}$ ; ( $S(U^j)$  — яркости соответствующих областей).

##### 2) Обнаружение объектов с $N^j < T$

Сглаженная компонента  $S_{mnk}$ , в (25) содержит лишь области с  $N^j > T$ , а области с  $N^j < T$  содержатся в разностной компоненте  $t_{mn} = (x_{mn} - \xi_{mn}) - S_{mn}$ . Детекция объектов с  $N^j < T$  достигается пороговым обнаружением в точках, где  $|t_{mn}| \geq \delta$  ( $\delta$  — порог обнаружения).

##### 3) Обнаружение объектов с $T_1 < N^j < T_2$

Возможны два варианта решения.

В первом случае сначала выберем  $n^W = T_1$ . Тогда сглаженная компонента  $S_{mnk}$  в (25) будет содержать объекты с  $N^j > T_1$ . Осуществим повторную ее обработку алгоритмом (25) с  $n^W = T_2$  ( $T_2 > T_1$ ). Очевидно, во вновь полученной сглаженной компоненте  $S'_{mnk}$  будут содержаться лишь объекты с  $N^j > T_1$ . Взяв разность  $y_{mnk} = |S_{mnk} - S'_{mnk}|$  получим сигнал, содержащий объекты в диапазоне  $T_1 < N^j < T_2$ . Недостаток данного решения — алгоритм получается двухпроходным.

*Второй вариант.* Обратим внимание, что при анализе гистограмм по окрестности и фрагменту используются два разных порога ( $n^V$  и  $n^W$ ). Выберем размеры окрестности  $l$  и фрагмента  $L$  больше обычного — такими, чтобы  $l^3 > 2T_1$  и  $L^3 > 2T_2$ . Задав  $R_1^V$  и  $R_2^V$  как

$R_1^V = R^V(T_1/l^2)$  и  $R_2^V = R^V(1 - T_1/l^2)$ , после операции (24) будем иметь  $\bar{x}_{mnk}$ , которое уже не содержит области с  $N^j < T_1$ . Далее в п. 5 алгоритма декомпозиции, при анализе  $H_{mn}^W$ , зададим  $R_1^W$  и  $R_2^W$  как  $R_1^W = R^W(T_2/L^3)$  и  $R_2^W = R^W(1 - T_2/L^3)$ . Получив значение  $S_{mnk}$  в (25), возьмем разность  $y_{mnk} = |\bar{x}_{mnk} - S_{mnk}|$ , на которой объекты выделяются пороговым обнаружением.

Отметим, что как понятие площади в двумерном случае, так и понятие объема в трехмерном варианте алгоритма используются в несколько необычном смысле — как «локальный» объем, т.е. объем той части объекта, которая попадает внутрь фрагмента  $W_{mnk}$ .

## VII. НЕКОТОРЫЕ ВЫЧИСЛИТЕЛЬНЫЕ АЛГОРИТМЫ

### A. Сумма по прямоугольному параллелепипеду

Введем обозначение для суммы по фрагменту 2D-изображения:

$$S_{(ij)(mn)} = \sum_{u=i}^{m-1} \sum_{v=j}^{n-1} x_{uv},$$

т.е.  $S_{(ij)(mn)}$  — сумма значений элементов  $x_{uv}$ , попадающих в прямоугольный фрагмент, диагональные точки которого имеют координаты  $(i, j)$  и  $(m-1, n-1)$ . Обратим внимание, что фрагмент при этом не включает точку с координатами  $(m, n)$  и соответствующие ей строку и столбец. Аналогично для трехмерного изображения,  $S_{(ijl)(mnk)}$  — сумма значений элементов  $x_{ijl}$  в прямоугольном параллелепипеде с координатами углов  $(i, j, l)$  и  $(m-1, n-1, k-1)$ :

$$S_{(ijl)(mnk)} = \sum_{u=i}^{m-1} \sum_{v=j}^{n-1} \sum_{w=l}^{k-1} x_{uvw}.$$

Для двумерного изображения классический способ вычисления суммы  $S_{(mn)(m+H, n+L)}$  по скользящему прямоугольному фрагменту размерами  $H \times L$  элементов при переходе от элемента  $(m, n)$  к элементу  $(m, n+1)$  сводится к формуле

$$S_{(m, n+1)(m+H, n+L+1)} = S_{(m, n)(m+H, n+L)} - S_{(m, n)(m+H, n+1)} + S_{(m, n+L)(m+H, n+L+1)}, \quad (26)$$

где последние два члена — суммы элементов по левому (удаляемому) и правому (добавляемому) столбцам фрагмента. Алгоритм требует 4 операции независимо от размеров фрагмента — 2 операции в выражении (26) и две операции на пересчет каждой из сумм по столбцу  $S_{(m, n)(m+H, n+1)}$  при переходе от строки  $m$  к строке  $m+1$ . Дополнительно требуется  $N$  ячеек для хранения сумм по столбцам.

При переходе к 3D-изображению, формула (26) будет модифицирована для скользящего прямоугольного параллелепипеда размерами  $H \times L \times J$ :

$$S_{(m, n, k+1)(m+H, n+L, k+J+1)} = S_{(m, n, k)(m+H, n+L, k+J)} - S_{(m, n, k)(m+H, n+L, k+1)} + S_{(m, n, k+J)(m+H, n+L, k+J+1)}, \quad (27)$$

где последние два члена — суммы элементов по левой (удаляемой) и правой (добавляемой) граням параллелепипеда. Данный алгоритм требует уже 6 арифметических операции независимо от размеров фрагмента — 2 операции в выражении (27), две операции на пересчет каждой из сумм по граням и две на пересчет сумм по столбцам. Кроме того, требуется  $K$

ячеек для хранения массива сумм по граням и  $N \times K$  ячеек для хранения сумм по столбцам.

Для двумерного изображения известен и другой алгоритм вычисления суммы по прямоугольнику произвольного размера. Пусть для каждой точки  $(m, n)$  подсчитаны суммы  $S_{mn} = S_{(0,0)(m,n)}$  по прямоугольнику с диагональными элементами  $x_{00}$  и  $x_{m-1, n-1}$ . Тогда сумма  $S_{(ij)(mn)}$  значений элементов внутри прямоугольника с угловыми координатами  $(i, j)$  и  $(m-1, n-1)$  будет:

$$S_{(ij)(mn)} = S_{mn} - S_{m,j} - S_{i,n} + S_{ij}, \quad (28)$$

что в среднем для каждого элемента изображения требует 2 операции для вычисления суммы  $S_{mn}$  и 3 операции для вычислений по формуле (28). Однако для хранения сумм  $S_{mn}$  требуется уже  $M \times N$  ячеек, равное размеру изображения. Преимуществом является то, что за те же 3 операции можно вычислять  $S_{(ij)(mn)}$  для любых значений координат, а не только по скользящему фрагменту.

Алгоритм (28) также может быть модифицирован для трехмерного изображения. Пусть для каждой точки  $(m, n, k)$  подсчитаны суммы  $S_{mnk}$  по прямоугольному параллелепипеду с диагональными элементами  $x_{000}$  и  $x_{m-1, n-1, k-1}$ , т.е.  $S_{mnk} = S_{(000)(mnk)}$ . Нетрудно показать, что в таком случае сумма  $S_{(ijl)(mnk)}$  значений элементов внутри параллелепипеда с угловыми координатами  $(i, j, l)$  и  $(m-1, n-1, k-1)$  вычисляется при помощи следующей операции:

$$S_{(ijl)(mnk)} = S_{mnk} - S_{mjk} - S_{mnl} - S_{ink} + S_{mjl} + S_{ijk} + S_{inl} - S_{ijl}. \quad (29)$$

Таким образом с учетом того, что для вычисления каждого из значений  $S_{mnk}$  требуется 3 арифметических операции, для вычисления суммы  $S_{(ijl)(mnk)}$  для каждого элемента трехмерного изображения потребуется в среднем 10 арифметических операций. Объем дополнительно требуемой памяти составит  $M \times N \times K$  ячеек с разрядностью, достаточной для значений сумм  $S_{mnk}$ .

Аналогично можно находить дисперсии по фрагменту  $D_{(ijl)(mnk)}$ , вычисляя значения сумм квадратов  $S_{(mnk)}(x^2)$  для каждой из точек  $(m, n, k)$  и для прямоугольного параллелепипеда  $S_{(ijl)(mnk)}(x^2)$ , и затем пользуясь формулой

$$D_{(ijl)(mnk)} = \{S_{(ijl)(mnk)}(x^2) - (S_{(ijl)(mnk)})^2\} / N_{(ijl)(mnk)}, \quad (30)$$

где  $S_{(ijl)(mnk)}(x^2)$  — сумма квадратов значений элементов, попадающих в параллелепипед, а общее число точек в параллелепипеде равно  $N_{(ijl)(mnk)} = (m-i) \times (n-j) \times (k-l)$ .

### B. Порядковые статистики по прямоугольному параллелепипеду

Основой для вычисления порядковых статистик по фрагменту  $W$  как 2D- так и 3D-изображения служит гистограмма распределения значений яркости по этому фрагменту  $h^W(x)$ , а также ее интегральная характеристика  $F^W(x)$ :

$$F^W(x) = \sum_{i=0}^x h^W(i); \quad F^W(x_{\max}) = N^W, \quad (31)$$

где  $x_{\max}$  — максимально возможное значение яркости, а  $N^W$  — число точек во фрагменте  $W$ . Порядковые статистики вида  $R^W(n)$ , где  $0 \leq n \leq N^W$ , представляют собой зависимость:

$$R^W(n) = z, \text{ если } F^W(z-1) < n \leq F^W(z). \quad (32)$$

Алгоритм скользящего вычисления гистограммы по

фрагменту строится аналогично формулам (26) и (27), т.е. при смещении фрагмента к следующей точке производится удаление точек на одной грани фрагмента и добавление точек на противоположной грани [15]. В двумерном случае алгоритм скользящего вычисления гистограммы по фрагменту при переходе от точки  $(m, n)$  к соседней точке  $(m, n+1)$  требует в среднем  $2H$  числа операций ( $H$  — число строк во фрагменте). В трехмерном случае при переходе от точки  $(m, n, k)$  к точке  $(m, n, k+1)$  потребуется уже  $2H \times L$  операций, где  $H \times L$  — число точек в грани параллелепипеда, перпендикулярной направлению смещения  $K$ .

В трехмерном случае число требуемых операций растет пропорционально произведению  $H \times L$ . Однако, если  $(H \times L) > (x_{\max} + 1)$ , то вместо операций со значениями отдельных точек выгодно заранее сформировать гистограммы для граней параллелепипеда  $h_{(ijk)(m, n, k+1)}^F(x)$ , а затем осуществлять операции вычитания и прибавления таких гистограмм:

$$h_{(i, j, k+1)(m, n, k+J+1)}^W(x) = h_{(ijk)(m, n, k+J)}^W(x) - h_{(ijk)(m, n, k+1)}^F(x) + h_{(i, j, k+J)(m, n, k+J+1)}^F(x), \quad (33)$$

где  $J$  — размер фрагмента в направлении смещения  $K$ . Действия по формуле (33) требуют в среднем  $2(x_{\max} + 1)$  арифметических операций на одну точку изображения независимо от размера параллелепипеда. Для пересчета гистограмм по граням параллелепипеда  $h_{(ijk)(m, n, k+1)}^F(x)$  нужно дополнительно в среднем  $2L$  операций на точку и  $(x_{\max} + 1) \times K$  ячеек памяти для хранения  $K$  гистограмм.

Число операций  $(x_{\max} + 1)$ , требуемое для прибавления/вычитания каждой из гистограмм по граням параллелепипеда  $h_{(ijk)(m, n, k+1)}^F(x)$ , можно уменьшить, если воспользоваться пространственной корреляцией обрабатываемых данных. На участках с медленным изменением яркости, которых на реальных изображениях обычно большинство, размах значений элементов сравнительно невелик — в несколько раз меньше полного диапазона в  $(x_{\max} + 1)$  градаций. Добавив к каждой из гистограмм  $h_{(ijk)(m, n, k+1)}^F(x)$  по 2 ячейки для запоминания минимального и максимального значений распределения, и, соответственно, обрабатывая лишь указываемый диапазон градаций, удастся дополнительно в несколько раз сократить общее число операций.

## VIII. ЗАКЛЮЧЕНИЕ

Рассмотрены вопросы модификации двумерных модели и алгоритмов обработки изображений в применении к трехмерным изображениям. Показаны варианты изменения области анализа, алгоритмов фильтрации, декомпозиции изображений и обнаружения объектов, которые сравнительно несложно модифицируются при переходе от 2D- к 3D-изображениям. Предложены вычислительные алгоритмы, сокращающие количество операций при определении значений среднего и порядковых статистик по скользящему фрагменту для 3D-изображения.

## БИБЛИОГРАФИЯ

- [1] Toriwaki J., Yoshida H. *Fundamentals of Three-Dimensional Digital Image Processing*. New York: Springer, 2009.
- [2] Красильников Н. *Цифровая обработка 2D и 3D изображений*. СПб.: BHV-Петербург, 2011.
- [3] Гонсалес Р., Вудс Р. *Цифровая обработка изображений*. М.: Техносфера, 2012.
- [4] Чочиа П.А. “Двухмасштабная модель изображения”. В кн. *Кодирование и обработка изображений*. М.: Наука, 1988, С. 69-87.
- [5] Чочиа П.А. *Обработка и анализ изображений на основе двухмасштабной модели: Препринт ИППИ АН СССР*. М.: ВИНТИ, 1986.
- [6] Ахмед Н., Пао К. *Ортогональные преобразования при обработке цифровых сигналов*. М.: Связь, 1980.
- [7] Chochia P.A. “Image Enhancement Using Sliding Histograms”. *Computer Vision, Graphics, Image Processing*, 1988, vol. 44, no. 2, pp. 211-229.
- [8] Прэтт У. *Цифровая обработка изображений*. М.: Мир, 1982. Т. 1, 2.
- [9] Робертс Л. “Автоматическое восприятие трехмерных объектов”. В кн. *Интегральные роботы*. М.: Мир, 1973, С. 162–208.
- [10] Чочиа П.А. “Цифровая фильтрация импульсных помех на телевизионных изображениях”. *Техника средств связи: сер. Техника телевидения*, 1984, вып.1, С. 26–36.
- [11] Чочиа П.А. “Сглаживание изображения при сохранении контуров”. В кн. *Кодирование и обработка изображений*. М.: Наука, 1988, С. 87-98.
- [12] Чочиа П.А. “Некоторые алгоритмы обнаружения объектов на основе двухмасштабной модели изображения”. *Информационные процессы*, 2014, Т. 14, № 2, С. 117-136.
- [13] Lee J.S. “Digital Image Smoothing and the Sigma Filter”. *Computer Vision, Graphics, Image Processing*, 1983, vol. 24, no. 2, pp. 255-269.
- [14] Tomasi C., Manduchi R. “Bilateral filtering for gray and color images”. *Proc. IEEE 6th Int. Conf. on Computer Vision*, Bombay, India, 1998, pp. 839-846
- [15] Чочиа П.А. “Параллельный алгоритм вычисления скользящей гистограммы”. *Автометрия*, 1990, № 2, С. 40-44.
- [16] Чочиа П.А. “Модификация модели и алгоритмов обработки при переходе от двумерных к трехмерным изображениям.” В кн. *IX Международная научно-практическая конференция “Современные информационные технологии и ИТ-образование.” Сборник избранных трудов*. М.: МГУ, 2014, С. 820-833.

# Three-dimensional and two-dimensional images: modification of image model, analysis area processing algorithms

P.A. Chochia

**Abstract** – The specificities of three dimensional images are formulated. The adaptation of analysis area and two-scale image model to 3D-images is studied. The modifications of various image processing algorithms to 3D-images are demonstrated. Fast algorithms for calculating local average and order statistics in the moving window for 3D-images are proposed.

**Keywords** — Image processing, three-dimensional image, image model, image processing algorithm, analysis area, fast algorithms.